
УДК 624.07.534.1

МЕТОД РАСЧЕТА СТЕРЖНЕЙ ПОД ДЕЙСТВИЕМ ИНЕРЦИОННОЙ НАГРУЗКИ С ПЕРЕМЕННОЙ СКОРОСТЬЮ ДВИЖЕНИЯ

© 2019 г. И. И. Иванченко^{1,*}

¹ *Российский университет транспорта (МИИТ), Москва, Россия*

**e-mail: ivaii011@mtu-net.ru*

Поступила в редакцию 05.09.2018 г.

После доработки 16.09.2019 г.

Принята к публикации 23.09.2019 г.

Предлагается метод расчета стержней при действии нагрузки и ее движении с переменной скоростью. Рассмотрены тестовые задачи о движении силы или груза с переменными скоростями по шарнирно опертой балке и о движении с торможением скоростного состава по мосту, состоящему из четырех балочных пролетов.

Ключевые слова: переменная скорость, шаговые процедуры, стержни, скоростной состав, мост

DOI: 10.1134/S0032823519050059

При решении задачи о действии на балку простейших подвижных нагрузок — сосредоточенной силы или груза с переменными скоростями движения — применяются методы, связанные с интегральными преобразованиями Фурье и Лапласа, использованием метода Бубнова–Галеркина [1, 2], интеграла Френеля, функций Уиттекера и метода малого параметра для решения обыкновенного дифференциального уравнения с переменными коэффициентами [1–5]. Кроме того, используются методы, связанные с численным решением интегральных уравнений относительно динамической реакции путем построения рекуррентных зависимостей с помощью формулы Гаусса [6, 7] и решением системы интегральных уравнений посредством замены ее системой алгебраических уравнений [8]. Предлагаемый в данной работе метод решения указанных задач учитывает любое необходимое число форм колебаний в разложении функции прогиба и приводит к разрешающей системе уравнений, для решения которой применяется безусловно-устойчивая схема интегрирования [9, 10] с минимальным числом неизвестных, как и в методе интегральных уравнений при решении задач с постоянной скоростью движения. В качестве нагрузки на стержни рассматриваются движущиеся с переменной скоростью сосредоточенные силы, грузы и экипажи.

1. Постановка задачи, общие формулы и тестовые примеры. Обратимся сначала к решению классической задачи о движении груза по балке с переменной скоростью, а затем перейдем к случаю более сложной нагрузки. Используются безусловно-устойчивая шаговая процедура по времени и метод учета действия безмассовой подвижной нагрузки на стержневые системы, предложенные ранее [9]. Рассматриваются случаи равнопеременного движения подвижной нагрузки по конструкциям.

Дифференциальное уравнение колебаний балки при движении по ней груза весом P и массой M имеет вид

$$L_1 q^*(y, t) = \delta(y - s(t)) \left\{ P - M \frac{d^2 q^*(s(t), t)}{dt^2} \right\}; \quad L_1 = EJ \frac{\partial^4}{\partial y^4} + \mu_1 EJ \frac{\partial^5}{\partial t \partial y^4} + m \frac{\partial^2}{\partial t^2} \quad (1.1)$$

Здесь EJ – жесткость балки на изгиб, μ_1 – коэффициент, учитывающий диссипацию энергии, $q^*(y, t)$ – прогиб балки, y – координата по длине, $\delta(y - s(t))$ – дельта-функция, $s(t) = v_0 t + wt^2/2$ – закон движения груза по балке, t – время, v_0 – скорость груза при въезде на балку, $v = v_0 + wt$ и w – скорость и ускорение движения груза, m – масса балки.

Прогиб шарнирно опертой балки в момент t_{j+1} при движении по ней сосредоточенной силы

$$R = \delta(y - s(t))(P - M\ddot{q}_1)$$

можно записать в виде [9]

$$\begin{aligned} q^*(\eta_1, t_{j+1}) &= \sum_{i=1}^n W_i(\eta_1) q_{ij+1} = \sum_{i=1}^n W_i(\eta_1) \left(q_{ij} + \dot{q}_{ij} \Delta t_j + \ddot{q}_{ij+1/2} \frac{\Delta t_j^2}{2} \right) = \\ &= \sum_{i=1}^n W_i(\eta_1) \left\{ \left(1 - \vartheta_{ij} \tilde{\omega}_i^2 \right) q_{ij} + \left(\Delta t_j - \vartheta_{ij} \left(2n_i + \frac{\Delta t_j}{2} \tilde{\omega}_i^2 \right) \right) \dot{q}_{ij} + \vartheta_{ij} \int_0^1 \bar{\eta} R_{j+1/2} d\eta \right\}, \end{aligned} \quad (1.2)$$

где использованы обозначения

$$W_i(\eta_1) = \sin(r_i \eta_1), \quad \vartheta_{ij} = \frac{\Delta t_j^2}{2} \left(1 + n_i \Delta t_j + \frac{\Delta t_j^2 \tilde{\omega}_i^2}{4} \right)^{-1}, \quad \tilde{\omega}_i^2 = \left(\left(\frac{r_i}{\ell} \right)^4 \frac{EJ}{m} \right)^{1/2}$$

$$2n_i = \mu_1 \left(\frac{r_i}{\ell} \right)^4 \frac{EJ}{m}, \quad r_i = \pi i, \quad \eta_1 = y/\ell, \quad \Delta t_j = t_{j+1} - t_j$$

$$\bar{\eta} = \tilde{b} W_i(\eta_1), \quad \tilde{b} = \frac{2}{m\ell}, \quad i = 1, \dots, n, \quad j = 0, 1, 2, \dots$$

Здесь q_{ij} – обобщенные координаты балки, $W_i(\eta_1)$ – фундаментальные функции, $\tilde{\omega}_i$ – круговая частота изгибных колебаний, n – число удерживаемых форм колебаний, ℓ – длина балки, \ddot{q}_1 – вертикальное ускорение груза.

Полагая $\ddot{q}_{1j+1/2} = d^2 q^*(s(t), t)/dt^2$, при $t = t_{j+1/2}$, запишем полное вертикальное ускорение груза в виде

$$\ddot{q}_{1j+1/2} = \left. \frac{d^2 q^*(s(t), t)}{dt^2} \right|_{t=t_{j+1/2}} = \frac{\partial^2 q^*}{\partial t^2} + 2 \frac{\partial^2 q^*}{\partial s \partial t} \frac{ds}{dt} + \frac{\partial^2 q^*}{\partial s^2} \left(\frac{ds}{dt} \right)^2 + \frac{\partial q^*}{\partial t} \frac{d^2 s}{dt^2} \Big|_{t=t_{j+1/2}} \quad (1.3)$$

Используя (1.2) и (1.3), имеем на шаге $[t_j, t_{j+1}]$

$$\ddot{q}_{1j+1/2} = \sum_{i=1}^n \left\{ \alpha_{1ij} \ddot{q}_{ij+1/2} + \alpha_{2ij} \dot{q}_{ij} + \alpha_{3ij} q_{ij} \right\} \quad (1.4)$$

где введены следующие обозначения

$$\alpha_{1ij} = \sin(r_i \eta_{1+1/2}) + \frac{r_i \Delta t_j}{\ell} [v_0 + wt_{j+1/2}] \cos(r_i \eta_{1+1/2}) + \tilde{d}_{ij} \frac{\Delta t_j^2}{4}$$

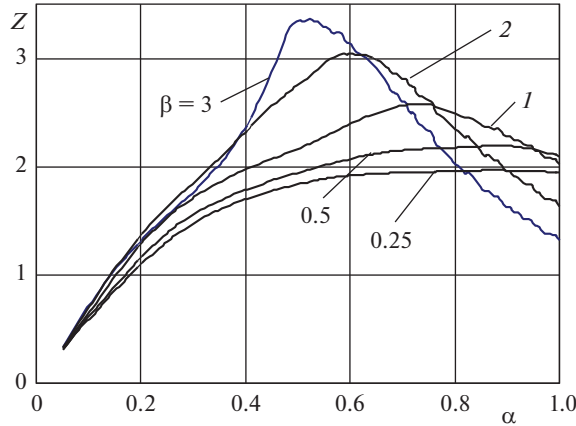


Рис. 1

$$\alpha_{2ij} = \frac{2r_i}{\ell} [v_0 + wt_{j+1/2}] \cos(r_i \eta_{1+1/2}) + \tilde{d}_{ij} \frac{\Delta t}{2}, \quad \alpha_{3ij} = \tilde{d}_{ij}$$

$$\tilde{d}_{ij} = -\left(v_0^2 + wt_{j+1/2}v_0 + w^2 t_{j+1/2}^2\right) \left(\frac{r_i}{\ell}\right)^2 \sin(r_i \eta_{1+1/2}) + w \left(\frac{r_i}{\ell}\right) \cos(r_i \eta_{1+1/2})$$

$$\eta_{1j+1/2} = \left(v_0 t_{j+1/2} + w \frac{t_{j+1/2}^2}{2}\right) / \ell$$

$$\ddot{q}_{ij+1/2} = \left\{ -\tilde{\omega}_i^2 q_{ij} - \left(2n_i + \frac{\Delta t_j}{2} \tilde{\omega}_i^2\right) \dot{q}_{ij} + \tilde{b} \sin(r_i \eta_{1+1/2}) (P + R_{1j+1/2}) \right\} \frac{2\partial_{ij}}{\Delta t_j^2}$$

Из условий динамического равновесия груза следует

$$R_{1j+1/2} = -M\ddot{q}_{1j+1/2} \quad (1.5)$$

После подстановки (1.5) в (1.4), имеем на шаге $[t_j, t_{j+1}]$ уравнение относительно $\ddot{q}_{1j+1/2}$. Выражение (1.2) с учетом (1.5) позволяет вычислить начальные условия задачи для следующего шага интегрирования.

Шаговая процедура (1.2)–(1.5) реализована для расчета равнопеременного движения груза по балке со следующими параметрами [1, 6, 7].

$$\beta = \frac{P}{m\ell g}, \quad \alpha = \frac{v\ell}{\pi\sqrt{EJ/m}}, \quad w = \frac{v^2}{2\ell} \left(\left(\frac{v_1}{v_0}\right)^2 - 1 \right), \quad (1.6)$$

где v_0 и v_1 – скорости, соответственно, въезда и схода груза с балки.

На рис. 1 показан характер возрастания и убывания динамического коэффициента $Z = Z_D/Z_0$, где Z_D – смещение груза и $Z_0 = 2Pl^3/(\pi^4 EJ)$ – статический прогиб под силой в центре балки, в зависимости от скорости движения, определяемой коэффициентом α . Результаты получены при $v_1/v_0 = 2/3$ и различных значениях параметра β , определяющего соотношение масс груза и балки 3, 2, 1, 0.5 и 0.25. Результаты, полученные по разным методикам и представленные на рис. 1 и в работе [7] (стр. 210), практически совпадают. Заметим, что предложенная методика (1.2)–(1.5) при $M = 0$ может быть использована для решения классической задачи о движении с перемен-

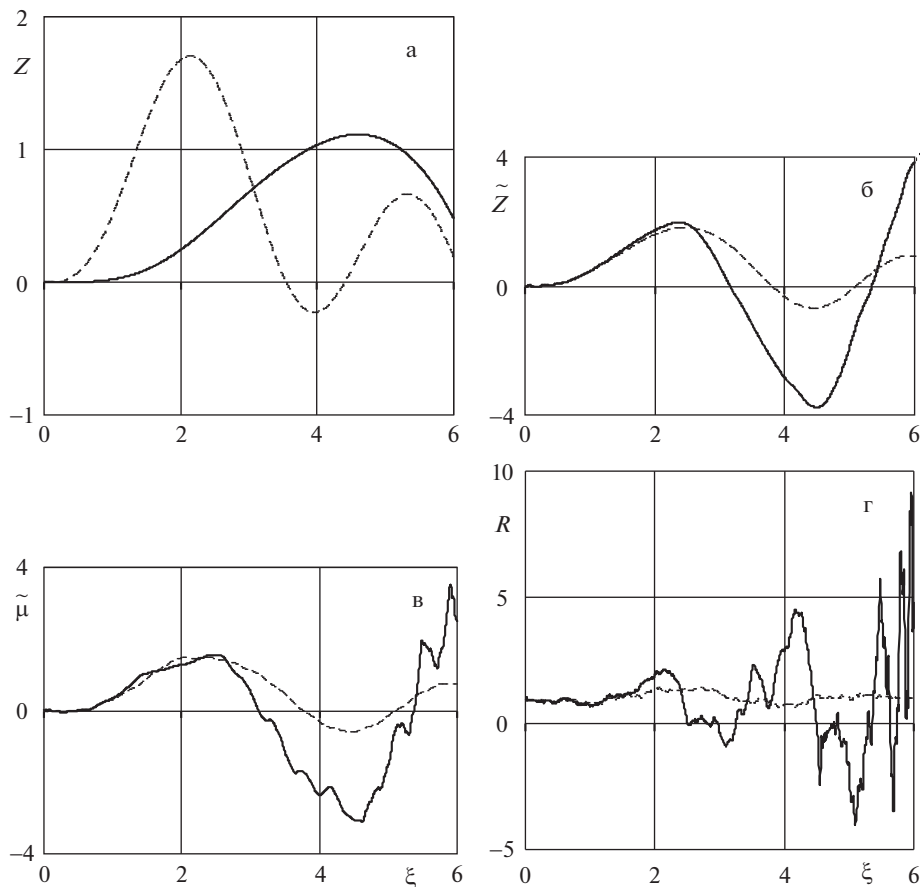


Рис. 2

ной скоростью вдоль стержня сосредоточенной силы. В зависимости от перемещения груза по балке, определяемого, при $\alpha = 0.5$ и $\beta = 0.25$, отрезком $\xi = \pi t v / \ell$ [1], на рис. 2 показаны изменения следующих величин: динамических коэффициентов для перемещений в центре балки при равнопеременном движении сосредоточенной силы $Z|_{y=\ell/2} = Z_D/Z_0$ (рис. 2, а) и груза \tilde{Z} (рис. 2, б); динамического коэффициента для изгибающего момента $\tilde{\mu} = M_D/M_0$, где M_D – момент в середине балки, при $M_0 = P\ell/4$ (рис. 2, в); динамического коэффициента $R = P_D/P$ для динамического давления под грузом P_D (рис. 2, г).

Во всех рассмотренных случаях на рис. 2 пунктирные линии соответствуют равнозамедленному движению при $w = -v_0^2/2\ell$, $v_1 = 0$, $t_1 = 2\ell/v_0$, $B = -0.5$, $v = v_0$, а линии сплошные – равноускоренному движению при $w = v_1^2/2\ell$, $v_0 = 0$, $t_2 = 2\ell/v_1$, $B = 0.5$, $v = v_1$, где $t_{1,2}$ – время движения груза, $\Delta t_j = 0.0005$ с, $n = 45$, $B = w\ell/v^2$ [1]. Результаты, полученные по разным методикам для случая движения силы и представленные на рис. 2, а и в работе [1] (стр. 313), практически совпадают.

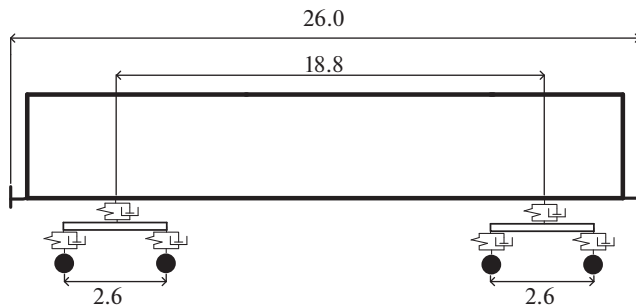


Рис. 3

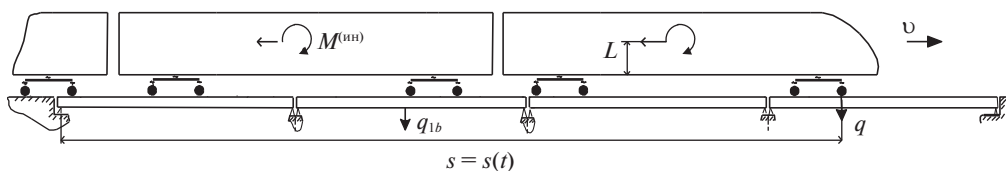


Рис. 4

2. Метод решения уравнений для системы “состав–мост”. Алгоритм (1.2)–(1.4) легко реализуется в случае движения системы грузов по балке (системе балок). Выражения вида (1.4) при движении N грузов формируют систему N линейных, алгебраических уравнений

$$AR_{ko\ j+1/2} + E\ddot{q}_K\ j+1/2 = B \quad (2.1)$$

Здесь A, B – блочно-диагональная матрица и вектор (число блоков равно числу балок), E – единичная матрица, R_{ko} – вектор динамических добавок к статическим давлениям грузов на балку, \ddot{q}_K – вектор вертикальных ускорений движущихся грузов.

Рассмотрим модель для изучения вертикальной динамики системы “состав–мост”. Будем далее ее обозначать через $\{e_h, e_{h^o}\}$, при $h = 1, 2, \dots, m_*$, $h^o = 1, 2, \dots, m^o$, где m_* , m^o – число последовательно расположенных шарнирно опертых балок и, соответственно, число экипажей в составе. На рис. 3 представлена модель вагона из скоростного состава, на рис. 4 изображен скоростной состав при движении по многопролетному балочному мосту в момент торможения.

Построим систему уравнений, описывающих вертикальную динамику состава $\{e_{h^o}^o\}$, состоящего из несвязанных между собой вагонов (рис. 3, 4). Будем считать при этом, что начальные условия задачи нулевые, а параметры, определяющие положение $\{e_{h^o}^o\}$ в системе $O_*X_*Y_*Z_*$, движущейся со скоростью состава v поступательно, отсчитываются от их значений в статическом равновесии. При этом в момент изменения скорости к кузову каждого вагона прикладываются горизонтальные силы инерции, влияющие на вертикальную динамику вагонов (продольная динамика состава не рассматривается). Обозначим через $\{e_{h^o}^{o'}\}$ элементы $\{e_{h^o}^o\}$, вовлеченные к моменту времени t в совместные колебания с $\{e_h\}$. Тогда для системы $\{e_{h^o}^{o'}\}$ имеем

$$M_* \ddot{\bar{q}}_c + C_* \dot{\bar{q}}_c + K_* \bar{q}_c = \bar{R}_*, \quad \bar{R}_* = \Pi_* R_* \quad (2.2)$$

Здесь \bar{q}_c – вектор независимых обобщенных координат, определяющих $\{e_{h^0}^{\circ}\}$ в системе $O_* X_* Y_* Z_*$, $M_* = [M_*^r]$, $C_* = [C_*^r]$, $K_* = [K_*^r]$ – блочно-диагональные матрицы масс, демпфирования и жесткости для $\{e_{h^0}^{\circ}\}$, M_*^r, C_*^r, K_*^r – блоки матриц M_*, C_*, K_* , соответствующие экипажу с номером r [10], Π_* – матрица соединения векторов \bar{R}_* и R_* , R_* – вектор динамических добавок к статическим реакциям в точках контакта $\{e_{h^0}^{\circ}\}$ с проезжей частью (системой $\{e_h\}$ и жестким внештатовым полотном).

Будем считать, что торможение состава происходит в момент t^* , когда первая колесная пара состава достигает середины второго пролета, при этом в момент t^* к кузовам состава прикладываются инерционные пары сил $M^{(ин)} = M^{(куз)} w \times L$ (см. рис. 4), где $M^{(куз)}$ – масса кузова вагона, L – расстояние по вертикали от центра масс кузова до оси колесной пары. Введем в рассмотрение следующие величины: P_* и R_{ko} – векторы статических давлений колесных пар системы $\{e_{h^0}^{\circ}\}$ на проезжую часть и соответствующие динамические добавки к ним; q_{ck} – вектор смещений колес вагона (подвектор \bar{q}_c); q_{ko} – вектор смещений проезжей части в точках контакта с ним колесных пар состава. Выделим из $R_{ko}, R_*, q_{ko}, q_{ck}$ подвекторы, соответственно, $R_{ko}^{\circ}, R_*^{\circ}, q_{ko}^{\circ}, q_{ck}^{\circ}$, отвечающие только взаимодействию $\{e_{h^0}^{\circ}\}$ с $\{e_h\}$, где $R_{ko}^{\circ}, R_*^{\circ}$ – динамические добавки к статическим давлениям колес и добавки к реакциям колес, $q_{ko}^{\circ}, q_{ck}^{\circ}$ – смещения балки и смещения колес на мосту. В любой момент времени элементы вектора q_{ko} , относящиеся к проезжей части вне моста, остаются нулевыми, а при движении состава по мосту выполняются условия неразрывности перемещений и скоростей $q_{ko}^{\circ} = q_{ck}^{\circ}, \dot{q}_{ko}^{\circ} = \dot{q}_{ck}^{\circ}$ и условия равновесия в движущихся узлах (в точках контакта колес с проезжей частью моста):

$$R_{ko}^{\circ} + R_*^{\circ} = 0 \quad (2.3)$$

Для системы $\{e_h\}$, по которой происходит движение состава, на шаге $[t_j, t_{j+1}]$ можно записать

$$AR_{ko}^{\circ} + E\dot{q}_{ko}^{\circ} = B \quad (2.4)$$

Здесь A – блочно-диагональная матрица, характеризующая жесткостные, диссипативные и инерционные характеристики системы $\{e_h\}$, E – единичная матрица, B – вектор, учитывающий начальные условия для $\{e_h\}$ в момент t_j и действие на проезжую часть моста системы движущихся сил P_* .

Проведем дискретизацию (2.2) по времени ($j = 0, 1, 2, \dots$), используя шаговую процедуру из [9], в итоге имеем

$$\ddot{\bar{q}}_{cj+1/2} = \tilde{G}_1 \bar{q}_{cj} + \tilde{G}_2 \dot{\bar{q}}_{cj} + A^* \Pi_* R_{*j+1/2} \quad (2.5)$$

$$A^* = \left[M_* + \frac{1}{2} C_* \Delta t_j + \frac{1}{4} K_* \Delta t_j^2 \right]^{-1}, \quad \tilde{G}_1 = -A^* K_*, \quad \tilde{G}_2 = -A^* \left(C_* + \frac{1}{2} K_* \Delta t_j \right)$$

$$\bar{q}_{cj+1} = \bar{q}_{cj} + \dot{\bar{q}}_{cj} \Delta t_j + \frac{1}{2} \ddot{\bar{q}}_{cj+1/2} \Delta t_j^2, \quad \dot{\bar{q}}_{cj+1} = \dot{\bar{q}}_{cj} + \ddot{\bar{q}}_{cj+1/2} \Delta t_j \quad (2.6)$$

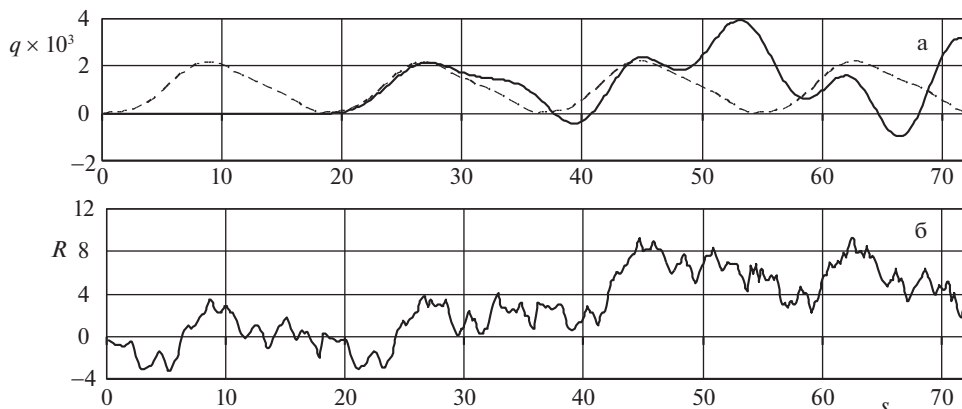


Рис. 5

Выделим из (2.5) подсистему уравнений, отвечающих в левой части подвектору $\ddot{q}_{ckj+1/2}^\circ$, далее выразим эту подсистему относительно вектора динамических добавок к статическим реакциям колес, представив ее в виде

$$R_{*j+1/2}^\circ = W^\circ \ddot{q}_{koj+1/2}^\circ + L^\circ \quad (2.7)$$

Подставим в (2.3) векторы R_{k0}° , R_*° из (2.4) и (2.7), в итоге имеем разрешающую систему уравнений на шаге $[t_j, t_{j+1}]$

$$D \ddot{q}_{koj+1/2}^\circ = D^\circ \quad (2.8)$$

$$D = A^{-1} - W^\circ, \quad D^\circ = A^{-1}B + L^\circ$$

где D, D° – блочно-диагональная матрица и вектор, характеризующие на шаге $[t_j, t_{j+1}]$ движение системы “состав – мост”.

Проследим ход решения всей задачи при $j = 0, 1, 2, \dots$ На шаге $[t_j, t_{j+1}]$ при начальных условиях задачи в момент t_j определяется, применяя (2.8), вектор $\ddot{q}_{koj+1/2}^\circ$, далее, используя (2.7), (2.6) и (1.2), вычисляются поля смещений, скоростей и ускорений для системы $\{e_h, e_h^{\circ 1}\}$ в момент t_{j+1} . Далее процесс повторяется.

3. Результаты численного моделирования. Шаговая процедура (2.8) реализована для высокоскоростного состава из [12] при движении по многопролетному мосту. Система $\{e_h, e_h^{\circ 1}\}$ состоит из четырех типовых железобетонных балочных пролетных строений одинаковой длины при $EJ = 2.15 \times 10^7$ кНм², $m = 8.2$ т/м, $\mu_1 = 0.00202$ с, $\ell = 18$ м и шести вагонов. Положение состава на мосту определяется отрезком $s(t)$ (рис. 4), т.е. положением первого колеса первого вагона на мосту.

Система уравнений (2.8) меняла свой порядок с 1 до 12 в процессе численной реализации, при движении состава со скоростью $v_0 = 250$ км/ч и торможении состава в момент, когда $s = 1.5\ell$ и $w = -2$ м/с² [13]. На рис. 5, а показаны зависимости вертикальных смещений первого колеса первого вагона q_1 [м] (пунктирная линия) и середины второго пролетного строения q_{1b} (сплошная линия) от положения состава, определяемого отрезком $s(t)$, на проезжей части моста (рис. 4). На рис. 5, б показана зависимость от $s(t)$ динамической добавки R (кН) первой колесной пары первого вагона.

Шаг интегрирования Δt_j при $n = 45$ в (2.8) выбирался равным $\Delta t_j = 0.0036$ с, при числе шагов по времени равном 300 и статической нагрузке от каждой колесной пары 170 кН. Отметим ожидаемое совпадение ординат графика на рис. 5, а, соответствующее моменту, когда колесо первого вагона достигает середины второго пролета при $s = 27$ м.

4. Заключение. Предложенный метод позволяет исследовать, используя шаговую процедуру, предложенную в [9], действие подвижной инерционной нагрузки с переменной скоростью, на стержни при различных граничных условиях, применяя соответствующие фундаментальные функции [10, 11, 14]. В задачах железнодорожного транспорта метод позволяет исследовать поведение системы “состав–мост” при различных скоростях движения состава в режимах начала торможения или разгона состава при любом его положении по длине пролетного строения моста. В задачах, связанных с подвижной нагрузкой, метод позволяет оценивать поведение конструкции и поведение объекта (системы с конечным числом степеней свободы) при резком торможении.

СПИСОК ЛИТЕРАТУРЫ

1. Fryba L. Vibration of Solids and Structures under Moving Loads. Prague: Academia, 1972. 494 p.
2. Siu-Seong Low, Xin-Qun Zhu Moving Loads – Dynamic Analysis and Identification Techniques. London: CRC Press, 2011. V. 8. 304 p.
3. Lowan A.N. On transverse oscillations of beams under the action of moving variable loads // Philosoph. Mag. 1935. Ser. 7. № 127. P. 708–715.
4. Suzuki S. Dynamic behaviour of a finite beam subjected to travelling loads with acceleration // J. Sound Vibr. 1977. V. 55. № 1. P. 65–70.
5. Васянин И.Н., Шендеров Н.Б. Асимптотический метод расчета динамики движения консольных балок от воздействия подвижной сосредоточенной нагрузки // Сб. научн. тр. Челябинского политехн. ин-та. 1969. № 77. С. 29–35.
6. Кохманюк С.С., Филиппов А.П. Динамическое действие на балку груза, движущегося с переменной скоростью // Строительная механика и расчет сооружений. 1967. № 2. С. 36–39.
7. Динамический расчет зданий и сооружений. (Справочник проектировщика) / Под ред. Б.Г. Коренева, И.М. Рабиновича. М.: Стройиздат, 1984. 303 с.
8. Рязанова М.Я. О колебаниях балки под действием движущегося вдоль нее груза // Докл. АН УССР. 1958. № 2. С. 157–161.
9. Иванченко И.И. Расчеты на подвижные и импульсивные нагрузки стержневых систем с распределенными параметрами // Прикл. мех. 1988. Т. 24. № 9. С. 109–118.
10. Иванченко И.И. Динамика транспортных сооружений (высокоскоростные подвижные, сейсмические и ударные нагрузки). М.: Наука, 2011. 574 с.
11. Иванченко И.И. Динамика мостовых и путевых конструкций при действии железнодорожной подвижной нагрузки // Изв. РАН. МТТ. 2005. № 4. С. 158–177.
12. Коган А.Я., Львов А.А., Левинзон М.А. Характеристики подвижного состава и спектральных неровностей пути для скоростей до 350 км/ч // Вестн. ВНИИЖТ. 1991. № 3. С. 10–14.
13. Науменко Р.У., Хижа И.Ю., Богомаз Е.Г. Торможение пассажирского скоростного поезда с учетом работы электромагнитного рельсового тормоза // Наука и прогресс транспорта. Вестн. Днепропетровского национального университета железнодорожного транспорта. 2009. № 29. С. 44–48.
14. Иванченко И.И. Метод расчета взаимодействия скоростных составов и двухпутных, балочных мостов при сейсмических воздействиях. Ч. 2. Действие на мост подвижных и сейсмических нагрузок, моделирование элементов безопасности в системе “мост-состав” (к формированию норм для ВСМ) // Строительная механика и расчет сооружений. 2018. № 6. С. 34–44.

Calculation of Rods on Action of Movable Inertial Load with Variable Speed

I. I. Ivanchenko^{a, #}

^a Russian University of Transport (MIIT), Moscow, Russia

[#]e-mail: ivaii011@mtu-net.ru

The method of calculation of rods at action of mobile loading with variable speed is offered. Test problems about movement of force or a cargo with variable speeds on hinged beam are represented. Movement of high-speed train at braking on the bridge consisting from four beams is considered.

Keywords: variable speed, step-by-step procedures, rods, high-speed train, the bridge

REFERENCES

1. Fryba L. Vibration of Solids and Structures under Moving Loads. Prague: Academia, 1972. 494 p.
2. Siu-Seong Low, Xin-Qun Zhu. Moving Loads – Dynamic Analysis and Identification Techniques. London: CRC Press, 2011, vol. 8, 304 p.
3. Lowan A.N. On transverse oscillations of beams under the action of moving variable loads // Philosop. Mag., 1935, ser. 7, no. 127, pp. 708–715.
4. Suzuki S. Dynamic behaviour of a finite beam subjected to travelling loads with acceleration // J. Sound Vibr., 1977, vol. 55, no. 1, pp. 65–70.
5. Vasjanin I.N., Shenderov N.B. Asimptotic method of calculation of dynamics of movement of console beams from influence of the mobile concentrated loading // Coll. papers Chelyabinsk Polytechnic Institute, 1969, no. 77, pp. 29–35. (in Russian)
6. Kokhmanyuk S.S., Filippov A.P. Dynamic action on a beam of the cargo moving with variable speed // J. Struct. Mech. Analys. Constr., 1967, no. 2, pp. 36–39. (in Russian)
7. Dynamic calculation of buildings and constructions (The directory of the designer) / Ed. by B.G. Korenev, I.M. Rabinovich. M.: Constr. Publ. House, 1984, 303 p. (in Russian)
8. Rjazanova M.J. About fluctuations of a beam under action of a cargo moving along her // Proc. Academy of Sciences of the Ukrainian SSR, 1958, no. 2, pp. 157–161. (in Ukrainian)
9. Ivanchenko I.I. Calculation for rolling and impulsive loads of rod systems with distributed parameters // J. Appl. Mech., 1988, vol. 24, no. 9, pp. 109–118.
10. Ivanchenko I.I. Dynamics of Transport Facilities (High-Speed Rolling, Seismic and Jarring Loads). Moscow: Nauka, 2011. 574 p. (in Russian)
11. Ivanchenko I.I. Dynamics of bridge structures and track structures for railway rolling loads // Mech. Solids, 2005, no. 4, pp. 158–177.
12. Kogan A.Ya., Lvov A.A., Levinzon M.A. Characteristics of railway vehicles and track irregularities for velocities not exceeding 350 km/h // Vestn. VNIIZhT, 1991, no. 3, pp. 10–14. (in Russian)
13. Naumenko R.U., Hizha I.J., Bogomaz E.G. Braking of a passenger high-speed train take into account of work of an electromagnetic rail brake. The Science and progress of transport // Bull. Dnepropetrovsk National Univ. Railway Transportation, 2009, no. 29, pp. 44–48. (in Russian)
14. Ivanchenko I.I. The calculation method of interaction of high-speed trains and double-track girder bridges under seismic loads. Pt 2. Action on the bridge of mobile and seismic loads, modelling of elements of safety in the system “bridge-train” (for the standards of high-speed rails) // J. Struct. Mech. Analys. Constr., 2018, no. 6, pp. 34–44. (in Russian)